

الگوهای برهم‌کنش جت‌های جنوب حاره و جبهه قطبی در بارش‌های سنگین

بهار و پاییز ایران

آذر جلیلیان^۱، حسن ذوالفقاری^{۲*} و جلیل صحرابی^۳

۱. دانشجوی دکتری، گروه جغرافیا، دانشگاه رازی، کرمانشاه، ایران

۲. دانشیار، گروه جغرافیا، دانشگاه رازی، کرمانشاه، ایران

۳. استادیار، گروه فیزیک جو، دانشکده علوم، دانشگاه رازی، کرمانشاه، ایران

(دریافت: ۹۷/۶/۲۷، پذیرش نهایی: ۹۷/۱۰/۱۱)

چکیده

در این پژوهش برهم‌کنش جت‌های جنوب حاره و جبهه قطبی در بارش‌های سنگین بهار و پاییز ایران (۱۹۸۸-۲۰۱۷) بررسی شده است. برای نیل به این منظور، پس از شناسایی منطقه بیشینه تغییرات جت‌ها، با استفاده از تحلیل عاملی به روش مؤلفه مینا (PCA) بر روی داده‌های ارتفاع تراز ۵۰۰ هکتوپاسکال، چهار مؤلفه اصلی با تعیین ۸۲ درصد از پراش داده‌ها تعیین شد. سپس با استفاده از روش تحلیل خوش‌های، روزهای واقع در هر خوش و با روش همبستگی درون‌گروهی، روز نماینده هر خوش مشخص شد. همچنین با دریافت داده‌های واگرایی، سرعت قائم جو (امگا)، توابی، رطوبت‌تنسی، رطوبت‌ویژه، دما و میانگین فشار تراز دریا از مرکز مطالعات میان‌مدت اروپا (ECMWF، European Centre for Medium-Range Weather Forecasts) اثرات الگوهای برهم‌کنش جت‌ها بر رخداد بارش سنگین بررسی شد. نتایج پژوهش نشان‌دهنده تأثیرات متفاوت سه الگوی برهم‌کنش جت‌ها بر بارش سنگین است. بهطوری که اثرات برهم‌کنش مستقیم ناشی از انطباق گردش واچرخندی جت جنوب حاره بر گردش چرخندی جت جبهه قطبی باعث تمرکز بارش در ایستگاه‌های محدودی شده است؛ اما تأثیر برهم‌کنش غیرمستقیم ناشی از انطباق گردش چرخندی جت جنوب حاره بر گردش واچرخندی جت جبهه قطبی، بارش‌های گسترشده‌ای را در پی داشته است. همچنین برهم‌کنش متقابل حاصل مجاورت گردش‌های واچرخندی جت جنوب حاره و چرخندی جت جبهه قطبی، بر تشدید فرآیند جبهه‌زنی و رخداد بارش در امتداد این جبهه‌ها مؤثر بوده است. مجاورت گردش‌های چرخندی جت جنوب حاره و واچرخندی جت جبهه قطبی، برهم‌کنشی در پی نداشته و رخداد بارش سنگین در این الگو، فقط از گردش چرخندی جت جنوب حاره متاثر شده است.

واژه‌های کلیدی: بارش سنگین، جت جنوب حاره، جت جبهه قطبی، برهم‌کنش، بهار و پاییز، ایران.

۱. مقدمه

دور کره زمین تشکیل می‌دهند. با اینکه موقعیت جت جنوب حاره در تنظیم و تبادل جریان‌های جوی بین دو منطقه حاره و برون حاره (بوشر، ۱۳۸۵؛ هندلوس و مارتین، ۲۰۱۶) و تشکیل پرفشار جنوب حاره از اهمیت بسیاری برخوردار است، اما تأثیر پس‌روی فصلی آن در نفوذ جت جبهه قطبی، زمینه تأثیر هر دو جت جنوب حاره و جبهه قطبی در پدیده‌های اقلیمی مناطق برون‌حاره، بویژه بارش سنگین را فراهم کرده است. بارش‌های تجمعی بیش از ۳۰ میلی‌متر در ۲۴ ساعت که با ایجاد سیلاب و آب‌گرفتگی، خسارات جانی و مالی زیادی به مناطق مختلف شهری و روستایی وارد می‌کنند را بارش سنگین

در فرهنگ واژگان هوا و اقلیم‌شناسی، به بادهای بسیار شدید با سرعت بیش از 50 ms^{-1} ، جت اطلاق می‌شود (گیر، ۱۹۶۱). تشکیل این بادهای سریع و پیچ و خم‌دار، با هزاران کیلومتر طول، چند صد کیلومتر عرض و چند کیلومتر ضخامت (آرچر و کالدیرا، ۲۰۰۸) در کمریند حداکثر شب وردیست جو (محل حداکثر شیو دما و انتقال انرژی)؛ باعث استقرار بادهای غربی و تشکیل جت‌های جنوب حاره و جبهه قطبی می‌شود. جت جبهه قطبی در عرض‌های میانه و بالا (ارتفاع ۹ تا ۱۲ کیلومتری) و جت جنوب حاره در فاصله مداری ۲۰ تا ۳۰ درجه (ارتفاع ۱۲ تا ۱۴ کیلومتری) حلقه‌های ناپیوسته‌ای را به

۲۰۱۳) استقرار همزمان جت‌ها را می‌توان در دو الگوی انطباق (Superposition) و مجاورت (Juxtaposition) طبقه‌بندی کرد. انطباق جت‌ها بمعنای همپوشانی قائم گرددش‌های چرخندی و واچرخندی آنها به گونه‌ای است که تأثیر این انطباق بر تقویت و یا تضعیف منطقه ورودی و یا خروجی جت واقع در ترازهای پایین‌تر جو، بر تقویت و یا تضعیف بخش دیگر و رخداد برهم‌کش‌های مستقیم و غیرمستقیم میان جت‌ها تأثیر گذار باشد (وینترز و مارتین، ۲۰۱۴). در حالی که مجاورت جت‌ها به استقرار گرددش‌های مستقیم (واچرخندی) و غیرمستقیم (چرخندی) آنها در ترازهای یکسانی از جو و رخداد برهم‌کنش متقابل میان آنها اطلاق می‌شود (پریزراکوس و همکاران، ۲۰۰۶). با توجه به اینکه هسته‌های جت در بستر موج‌های کوتاه و بلند حرکت می‌کنند و همانند آنها دارای مناطق همگرایی و واگرایی هستند، رخداد برهم‌کنش با تشید مولفه‌های فرارفت دما و رطوبت در جهت‌های قائم و افقی (یوسلینی و کوچین، ۱۹۸۷)، جهت و شدت باد نازمینگرد، تاوایی، واگرایی افقی و سرعت قائم جو، بر فرآیندهایی مانند سیکلوتزایی سطح زمین و رخداد بارش سنگین تأثیر گذار خواهد بود (بجرکنس و هولمیو، ۱۹۴۴؛ پریزراکوس و همکاران، ۲۰۰۶). بنابراین بررسی تغییرات این مولفه‌ها در الگوهای همزمانی جت‌های جنوب حاره و جبهه قطبی و تأثیرات آنها در رخداد بارش سنگین، هدف پژوهش حاضر می‌باشد. اولین پژوهش‌ها در این زمینه توسط دیفاتت (۱۹۵۹)، ریتر (۱۹۶۳)، واپتنی (۱۹۷۷)، کارین (۱۹۷۹)، مادوکس و دزول (۱۹۸۲)، یوسلینی و کونیک (۱۹۸۷) و کاپلان و همکاران (۱۹۹۸)، انجام گرفته است. سپس پریزراکوس و همکاران (۲۰۰۶)، با تشریح جامع نحوه رخداد این برهم‌کنش‌ها، نوسانات شمال سو و جنوب سوی جت‌های حاره‌ای و جبهه قطبی را عامل اصلی مجاورت و رخداد برهم‌کنش میان آنها بر شمردنند. همچنین ذکیزاده و همکاران (۱۳۹۷)، مظفری و همکاران (۱۳۹۶)، آروین و

می‌نامند (متولی میدانشاه و همکاران، ۱۳۹۶؛ صلاحی و عالی‌جهان، ۱۳۹۲؛ بربار و عزیزی، ۱۳۹۴). علی‌رغم اینکه موجودیت بخار آب کافی و عوامل صعود قوی در جو، مهم‌ترین عوامل رخداد بارش هستند (علیجانی و کاویانی، ۱۳۸۴؛ اما استقرار ایران در منطقه انتقالی الگوهای بزرگ مقیاس گرددش عمومی ورد سپهر، با فراهم کردن شرایط برهم‌کنش سامانه‌های حاره‌ای، برون‌حاره و جنب حاره (مفیدی و زرین، ۱۳۸۴) بر پیچیدگی رفتاری آن افزوده است. به طوری که رخداد این مخاطره‌اقلیمی، علاوه بر رفتار متغیر در مقیاس روزانه، ماهانه و سالانه، به موقعیت استقرار جت‌ها نیز وابسته می‌باشد. علاوه بر این، تأثیر جت در تشید صعود یا نزول هوا در ترازهای زیرین جو (سعیدآبادی و همکاران، ۱۳۹۴) ارتباط بارندگی با موقعیت جت‌ها را نشان می‌دهد. بنابراین شناخت سازوکار و نحوه استقرار جت، اهمیت بسیاری در تبیین و پیش‌بینی بارش‌های سنگین دارد. در اغلب مطالعات انجام گرفته در زمینه جت‌ها به تأثیر این جریانات جوی بر مبادرات استراتوسفری و تروپوسفری و رژیم‌های گردشی جو (کارین، ۱۹۷۹؛ وی، ۱۹۸۷؛ ناکامورا، ۱۹۹۲؛ یوسلینی، ۱۹۸۶؛ کاپلان و همکاران، ۱۹۹۸؛ وینترز و مارتین، ۲۰۱۴؛ ترنوکرافت و فلوکاس، ۱۹۹۷؛ لو و همکاران، ۲۰۰۲؛ هندلوس و مارتین، ۲۰۱۶)، تأثیر تغییر موقعیت این جریانات جوی (استرانگ و دیویس، ۲۰۰۷؛ وین، ۲۰۰۵؛ فو و همکاران، ۲۰۰۶)، افزایش سرعت جت جنوب حاره و نوسان قطب سوی بهار و پاییز آن در خاورمیانه و تأثیر آن بر بارش سنگین اشاره شده است (هودسون، ۲۰۱۲؛ عساکره و همکاران، ۱۳۹۴؛ خسروی و غبور، ۱۳۸۰). بنابراین با توجه به اینکه رخداد این نوسانات در مواردی باعث استقرار همزمان جت‌ها و برهم‌کنش میان آنها می‌شود، تبیین بارش‌های سنگین مرتبط با این الگوها مورد توجه اقلیم‌شناسان قرار گرفته است. بر اساس مطالعات انجام گرفته (هندلوس و مارتین، ۲۰۱۶؛ پریزراکوس و همکاران، ۲۰۰۶؛ لیو و زانگ،

مرکز (ECMWF)، با فرمت NC و با مختصات 2×2 درجه برای هر یاخته طول و عرض جغرافیایی در محدوده ۱۰ تا ۷۰ درجه عرض شمالی و ۰ تا ۸۰ درجه طول شرقی گرفته شد. سپس با استفاده از داده‌های فوق و با اسکریپت نویسی در نرم‌افزار گردرس (GRADS)، مؤلفه‌های همگرایی شار رطوبت، فرارفت دما، فرارفت تاوایی، جبهه‌زایی، پیچانه، ضخامت جو و مجموع آب قابل بارش (۵۰۰-۱۰۰۰ هکتوپاسکال) نیز به عنوان داده‌های ثانویه حاصل از مرکز (ECMWF) محاسبه شد.

در مرحله بعدی، پس از تعیین موقعیت متوسط جت‌های جنوب حاره و جبهه قطبی در نرم‌افزار surfer، به منظور شناخت محدوده جغرافیایی رخداد حداکثر تغییرات جت‌ها؛ سری زمانی، توزیع مکانی روند سرعت و تغییرات محور آنها در پهنه اقلیمی ایران نیز تعیین شد. سپس با محاسبه روند سرعت این جت‌ها ($\geq 30 \text{ ms}^{-1}$) در طول دوره مورد مطالعه در هر یاخته طول و عرض جغرافیایی، الگوی تغییرات سری‌های زمانی هر فصل نیز تعیین شد. همچنین، روند مؤلفه‌های مداری و نصف النهاری و ضریب تغییرات آنها به صورت مجزا در نرم‌افزار Matlab و حالات مختلف روند آنها نسبت به یکدیگر با روش رگرسیون خطی ساده (رابطه ۱) و رابطه هر مؤلفه (فقط یک متغیر) با زمان (t) با استفاده از معادله برازش خط محاسبه شد.

$$\hat{Y}_i = a + bt_i \quad (1)$$

در معادله فوق، y مختصات خط به ازای t های مختلف، جزء $a + bt_i$ مؤلفه قطبی، a عرض از مبدأ و b شیب خط است (عساکر و همکاران، ۱۳۹۴). در این معادله، مقادیر مثبت، منفی و صفر به ترتیب بیان کننده روندهای افزایشی، کاهشی و فقدان روند می‌باشند. محاسبه ضرایب رگرسیونی نیز با استفاده از روش کمترین مربعات خط (LSE) انجام گرفته است. در این روش، شیب خط با رابطه ۲ و عرض از مبدأ با رابطه ۳ محاسبه شده است.

محمدی نژاد (۱۳۹۴)، حلیبان و پور جزی (۱۳۹۳)، محمدی و مسعودیان (۱۳۸۹)، احمدی و جعفری همبری (۱۳۹۴)، براتی و همکاران (۱۳۹۴)، نوری و ایلدرمی (۱۳۹۱) و مبارک حسن و همکاران (۱۳۹۱)، تأثیر همزمانی این جت‌ها را بر بارش سنگین بررسی کرده‌اند. نکته قابل توجه در همه این مطالعات ردبایی آثار برهم‌کنش جت با استناد به تغییرات فشار سطح زمین نسبت به روزهای قبل و بعد از رخداد همزمانی است؛ در حالی که در مطالعات جدیدتر، اثرات برهم‌کنش جت از طریق ردبایی مؤلفه‌های دینامیک جو (واگرایی، باد نازمینگرد، فرارفت تاوایی مطلق، سرعت قائم در ترازهای مختلف و ...) به دلیل تأثیر آنها بر تقویت همگرایی شار رطوبت مورد توجه قرار گرفته است (ویترز و مارتین، ۲۰۱۴؛ هندلوس و مارتین، ۲۰۱۶). با توجه به رخداد حداکثر نوسان جت‌های جنوب حاره و جبهه قطبی در فصول بهار و پاییز (عساکر و همکاران، ۱۳۹۴) در پژوهش حاضر، تأثیرات برهم‌کنش جت‌ها بر مؤلفه‌های واگرایی، سرعت قائم جو، فرارفت تاوایی مطلق، فرارفت دما، جبهه‌زایی، شار رطوبت و اثر تغییر این مؤلفه‌ها در رخداد بارش‌های سنگین بهار و پاییز تبیین خواهد شد.

۲. مواد و روش‌ها

در این پژوهش اثرات برهم‌کنش جت‌های جنوب حاره و جبهه قطبی بر بارش‌های سنگین بهار (۲۰ مارس- ۲۱ زوئن) و پاییز (۲۲ سپتامبر- ۲۲ دسامبر) در یک دوره زمانی ۳۰ ساله (۱۹۸۸-۲۰۱۷)، با رویکرد گردشی به محیطی در مقیاس‌های زمانی شش ساعته (12z , 0.06z , 0.00z) و (18z) مورد بررسی قرار گرفته است. بهمین منظور ابتدا داده‌های مداری و نصف النهاری باد (۶۵۰-۱۰۰ هکتوپاسکال)، واگرایی، سرعت قائم هوا در جو (امگا) و دما (۱۰۰-۲۰۰ هکتوپاسکال)، ارتفاع ژئوپتانسیل و تاوایی (۵۰۰ و ۷۰۰ هکتوپاسکال)، رطوبت نسبی و رطوبت ویژه (۵۰۰-۱۰۰۰ هکتوپاسکال) و میانگین فشار تراز دریا از

جو در ۴ خوشة قرار گرفت و روز نماینده هر خوشه نیز با روش همبستگی درون گروهی تعیین شد. گسترش قائم جت‌ها نیز در ترازهای مختلف جو با استفاده از نمودارهای هاومولر؛ و منشأ رطوبت بارش‌ها، تغییرات نم ویژه (q)، باد مداری (u) و نصف النهاری (v) نیز با استفاده از معادله شار رطوبت (رابطه ۴) بررسی شده است.

$$\begin{aligned} HFD_{ij} = & -[u_{ij} \frac{q_{i+1,j} - q_{i,j}}{x_{i+1,j} - x_{i,j}} + v_{ij} \frac{q_{i,j+1} - q_{i,j}}{y_{i,j+1} - y_{i,j}} + \\ & q_{ij} \frac{u_{i+1,j} - u_{i,j}}{x_{i+1,j} - x_{i,j}} + q_{ij} \frac{v_{i,j+1} - v_{i,j}}{y_{i,j+1} - y_{i,j}}] \end{aligned} \quad (4)$$

در رابطه فوق، مقادیر مثبت و منفی به ترتیب نشان‌دهنده همگرایی و واگرایی شار رطوبت می‌باشند (قویدل رحیمی، ۱۳۸۹). در نهایت، با محاسبه مقادیر هریک از این مؤلفه‌ها در زمان رخداد بارش، تأثیر برهم‌کنش جت‌ها در بارش سنگین تبیین شده است.

۳. تحلیل نتایج

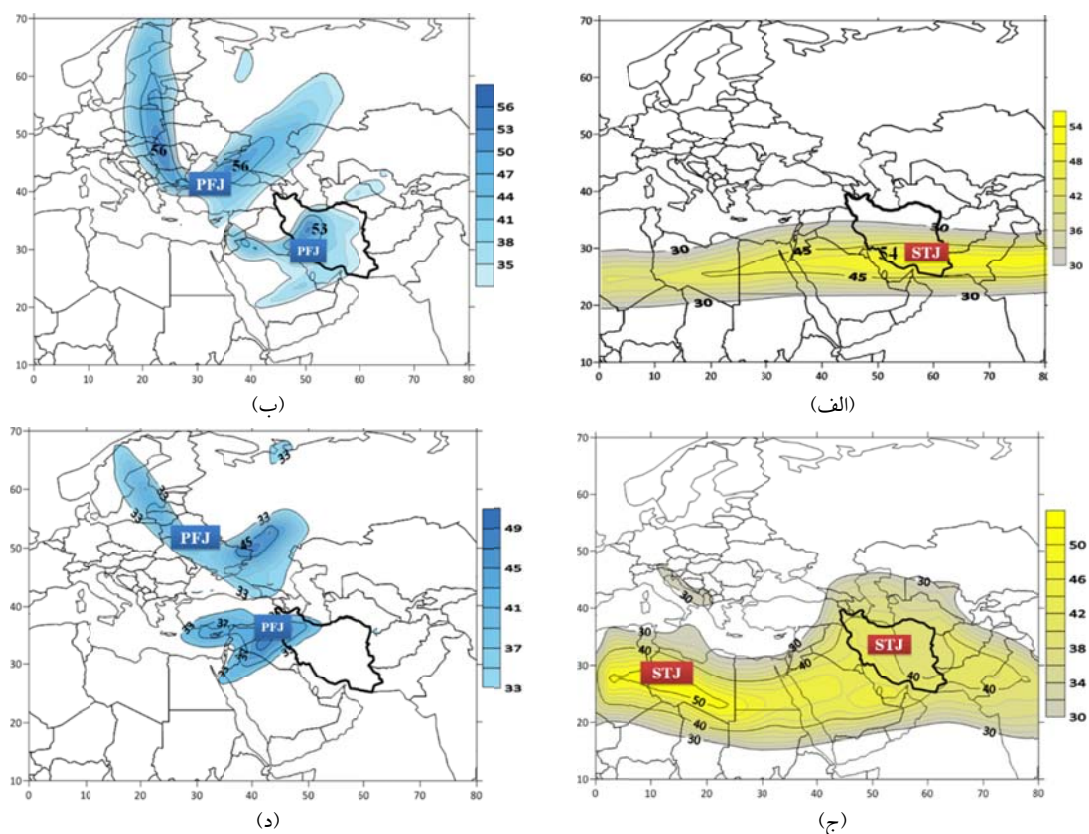
شکل‌های ۱-الف و ۱-ب، نتایج حاصل از تعیین موقعیت متوسط جت‌های جنب حاره و جبهه قطبی (۱۹۸۸-۲۰۱۷)، گسترش مداری هسته STJ در ۲۵ تا ۳۰ درجه عرض شمالی و استقرار هسته‌های PFJ در ۳۰ تا ۷۰ درجه شمالی را با الگوی نصف النهاری در پاییز نشان می‌دهد. همچنین استقرار هسته اصلی STJ در شمال آفریقا و کاهش انحنای PFJ و پس‌روی آن به عرض ۳۵ درجه شمالی نشان‌دهنده تضعیف این جت‌ها در بهار است (شکل‌های ۱-ج، ۱-د). در ادامه نتایج حاصل از محاسبه روند مؤلفه‌های مداری، نصف النهاری و ضربی تغییرات (جدول ۱)، الگوهای همزمانی جت‌ها (جدول ۲)، طرح شماتیک هریک از این الگوها (شکل ۲) و فراوانی رخداد الگوهای چهارگانه همزمانی جت‌ها (جدول ۳) بیان شده است.

$$b = \frac{\sum_{i=1}^n (x_i - \bar{x})(y_i - \bar{y})}{\sum_{i=1}^n (x_i - \bar{x})^2} \quad (2)$$

$$a = \bar{y} - b\bar{x} \quad (3)$$

در مرحله بعد بر اساس روش بربزو و عزیزی (۱۳۹۴) آستانه بارش بیش از ۳۰ میلی‌متر به عنوان بارش سنگین در نظر گرفته شده است. بهمین منظور پس از تعیین بارش‌های سنگین ۷۰ ایستگاه همدید بر پایه صد ک ۱۹۵ام (عسگری و همکاران، ۱۳۸۶)، رخداد بارش‌های بیش از ۳۰ میلی‌متر در این ایستگاه‌ها شناسایی شد و تأثیر برهم‌کنش جت‌ها در این بارش‌ها مورد بررسی قرار گرفت.

سپس با استفاده از طبقه‌بندی الگوهای نقشه‌ای به روش بردار ویژه، الگوهای گردشی مؤثر در استقرار همزمان جت‌ها استخراج شد. در این روش، با بررسی حالات اصلی تغییرات مکانی یک متغیر (ارتفاع ژئوپتانسیل تراز ۵۰۰) و تعیین الگوهای حاکم، شرایط اقلیمی منطقه در دوره استیلای هر کدام از این الگوها تبیین شده است (علیجانی، ۱۳۸۵). بنابراین، ابتدا با استفاده از تعداد نقاط شبکه‌ای (۱۲۷۱ نقطه) و تعداد روزهای بارش بیش از ۳۰ میلی‌متر به عنوان روزهای رخداد بارش سنگین (۹۷۲ روزهای بارشی) یک ماتریس 1271×972 تشکیل شد. پس از اعمال معیار KMO (برای اطمینان از مناسب بودن داده‌ها) و آزمون بارتلت، با ورود داده‌ها در یک تحلیل مؤلفه مبنای دوران یافته (PCA)، ۹ عامل با پراش بالای یک به دست آمد. با توجه به اینکه در این روش عامل‌های دارای حداقل ۵ متغیر و بیشتر، عامل‌های مطلوب به شمار می‌روند (حیب پور و همکاران، ۱۳۸۸)، ۴ مؤلفه با تبیین حدود ۸۲ درصد از پراش داده‌ها انتخاب شدند. سپس با اعمال تحلیل خوش‌های سلسله مراتبی و معیار مربع فواصل اقلیدسی به روش ادغام وارد در نرم‌افزار SPSS، ارتفاع



شکل ۱. میانگین موقعیت STJ (۲۰۰ هکتوپاسکال) و PFJ (۳۰۰ هکتوپاسکال): (الف) STJ (پاییز)، (ب) PFJ (پاییز)، (ج) STJ (بهار)، (د) PFJ (بهار).

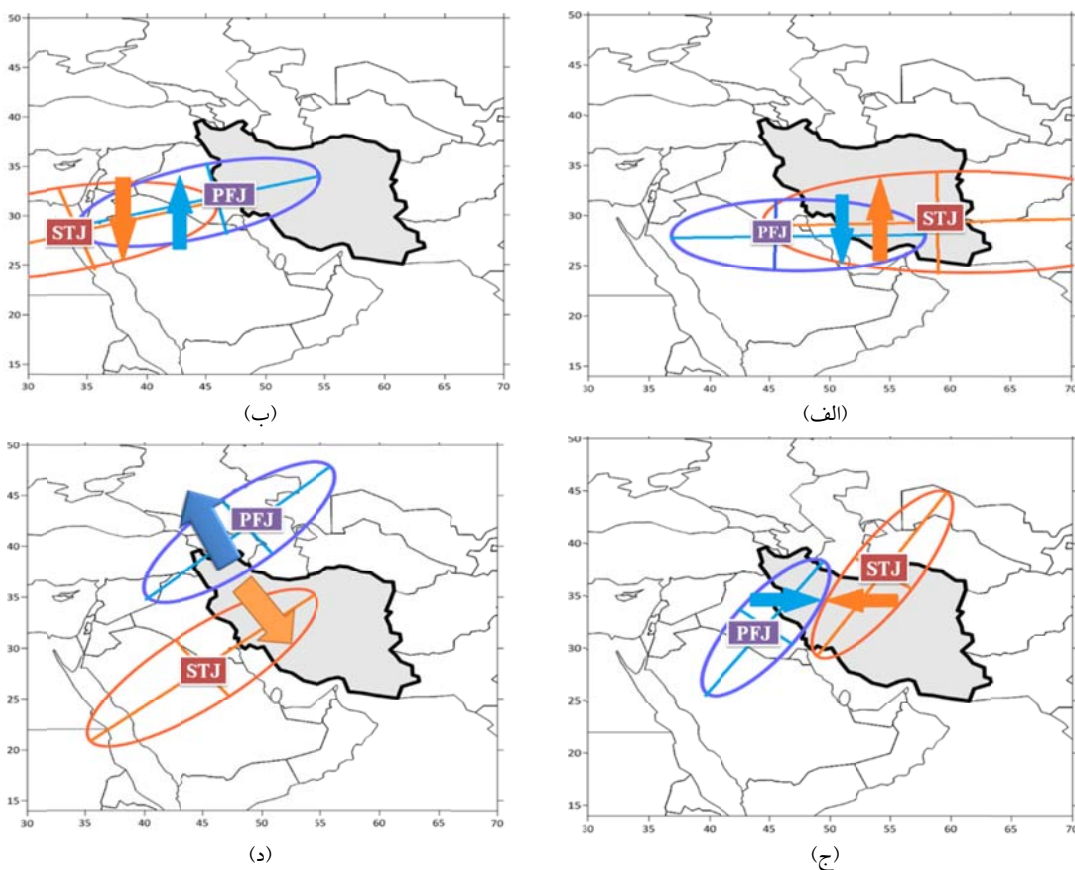
جدول ۱. حالات و نتایج روند محور و مؤلفه‌های مداری (U) و نصف النهاری (V) جت‌های جنوب حاره (STJ) و جبهه قطبی (PFJ)

نتایج تغییر محور(*) و جهت محور						معنی داری مؤلفه (*)		حالات روند مؤلفه			
PFJ			STJ			V	U	V	U	ردیف	
منطقه	جهت محور	تغییر محور (*)	منطقه	جهت محور	تغییر محور (*)						
CV	حداکثر		CV	حداکثر							
-	-	-	-	-	-	*	*	ثبت	ثبت	۱	
37-56.E	شرق سو	*	30-65.E	شرق سو	*		*	منفی	ثبت	۲	
27-41.N	جنوب سو	*	25-40.N	شمال سو	*	*		ثبت	منفی	۳	
-	-	-	-	-	-			منفی	منفی	۴	

CV: ضریب تغییرات، E: طول شرقی جغرافیایی، N: عرض شمالی جغرافیایی، *: معنی داری مؤلفه‌های U و V. معنی داری یکی از این مؤلفه‌ها باعث تغییر محور جت استریم می‌شود.

جدول ۲. الگوهای همزمانی و برهم کنش جت‌های جنوب حاره (STJ) و جبهه قطبی (PFJ) در بارش‌های سنگین بهار و پاییز (۱۹۸۰-۲۰۱۵).

الگوهای اصلی	الگوهای فرعی	نحوه استمرار جت‌ها	نوع تأثیر برهم کنش
انطباق	الگوی اول	انطباق گردش واچرخندی STJ بر گردش چرخندی PFJ	مستقیم
	الگوی دوم	انطباق گردش چرخندی STJ بر گردش واچرخندی PFJ	غیرمستقیم
مجاورت	الگوی سوم	مجاورت گردش واچرخندی STJ و گردش چرخندی PFJ	متقابل
مجاورت	الگوی چهارم	مجاورت گردش چرخندی STJ و گردش واچرخندی PFJ	عدم برهمکنش



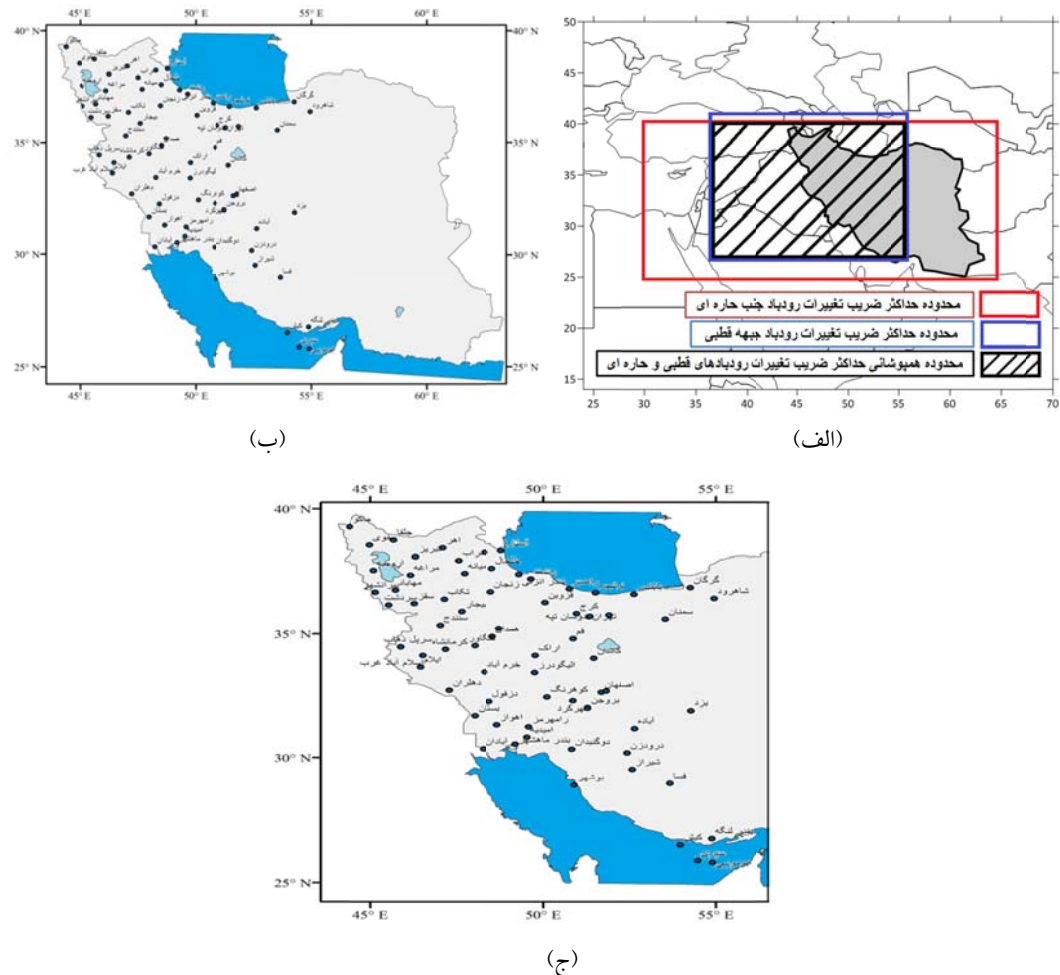
شکل ۲. الگوهای چهارگانه استقرار همزمان STJ و PFJ (پیکان‌های نارنجی: گردش‌های چرخندی و واچرخندی آبی: گردش‌های چرخندی و واچرخندی PFJ) (الف) انطباق گردش واچرخندی STJ بر گردش چرخندی PFJ. (ب) انطباق گردش چرخندی STJ بر گردش واچرخندی PFJ. (ج) مجاورت گردش واچرخندی STJ و گردش چرخندی PFJ. (د) مجاورت گردش چرخندی STJ و گردش واچرخندی PFJ.

جدول ۳. فراوانی الگوهای چهارگانه همزمانی جت‌های جنوب حاره و جبهه قطبی در فصول بهار و پاییز (۱۹۸۸-۲۰۱۷) در محدوده (۲۷-۴۰° N, ۳۶-۵۶° E).

الگوها	اول	دوم	سوم	چهارم
تعداد کل	۳۸	۲۵	۳۱	۱۳
فراوانی رخداد در پاییز	۲۷	۷	۱۷	۵
فراوانی رخداد در بهار	۱۱	۱۸	۱۴	۸
روز نماینده	۲۰ دسامبر ۱۹۹۷	۲۶ مارس ۲۰۰۳	۲۰۱۳ دسامبر ۱۹۹۴	۲۳ نوامبر ۱۹۹۴

شمالی، مرکزی، غرب، شمال غرب و جنوب غرب ایران (27° - 40° N, 36° - 56° E) بررسی شده است (شکل ۳).

همچنین بر اساس نتایج حاصل از صد ک ۱۹۵، تأثیر الگوهای همزمانی جت‌ها فقط بر بارش‌های سنگین در ایستگاه‌های همدید واقع در مناطق



شکل ۳. (الف) کادر قرمز: محدوده حداکثر ضربت تغییرات جت جبهه قطبی، کادر سیاه: محدوده استقرار همزمان جت‌ها؛ (ب و ج) موقعیت ایستگاه‌های همدیدی مورد مطالعه.

در منطقه است. تأثیر برهم کنش مستقیم جت‌ها در این الگو بر تمرکز مکانی رخداد بارش سنگین در ۲۰ دسامبر ۱۹۹۷ تبیین می‌شود. در این روز، همزمان با حرکت شرق سوی ناوه تراز ۵۰۰ هکتوپاسکال و حاکمیت محور کم ارتفاع ۵۵۴۰ متری آن در ۴۵ تا ۵۰ درجه شرقی (شکل ۴-الف)، حرکت جنوب سوی جت جبهه قطبی نیز رخداده است. اگرچه استقرار گردش چرخندی و همگرایی پایینی این جت در جنوب غرب ایران زمینه‌ساز شرایط رخداد بارش است، اما حرکت شمال سوی پشت جنوب حاره (به میزان ۲ درجه عرض جغرافیایی) منجر به نوسان شمال سوی جت جنوب حاره و انتباق آن بر جت جبهه قطبی شده است (شکل ۴-ب). در واقع انتباق منطقه

لازم به ذکر است که اثرات برهم کنش‌های مستقیم و غیرمستقیم جت‌ها در الگوهای اول و دوم، با تغییر ضخامت قائم جت جبهه قطبی و برهم کنش متقابل جت‌ها در الگوی سوم، با تشدید شرایط کژفشار جو، بر رخداد بارش سنگین تأثیرگذار بوده است. در ادامه تأثیر یک از این الگوها بر بارش تبیین می‌شود.

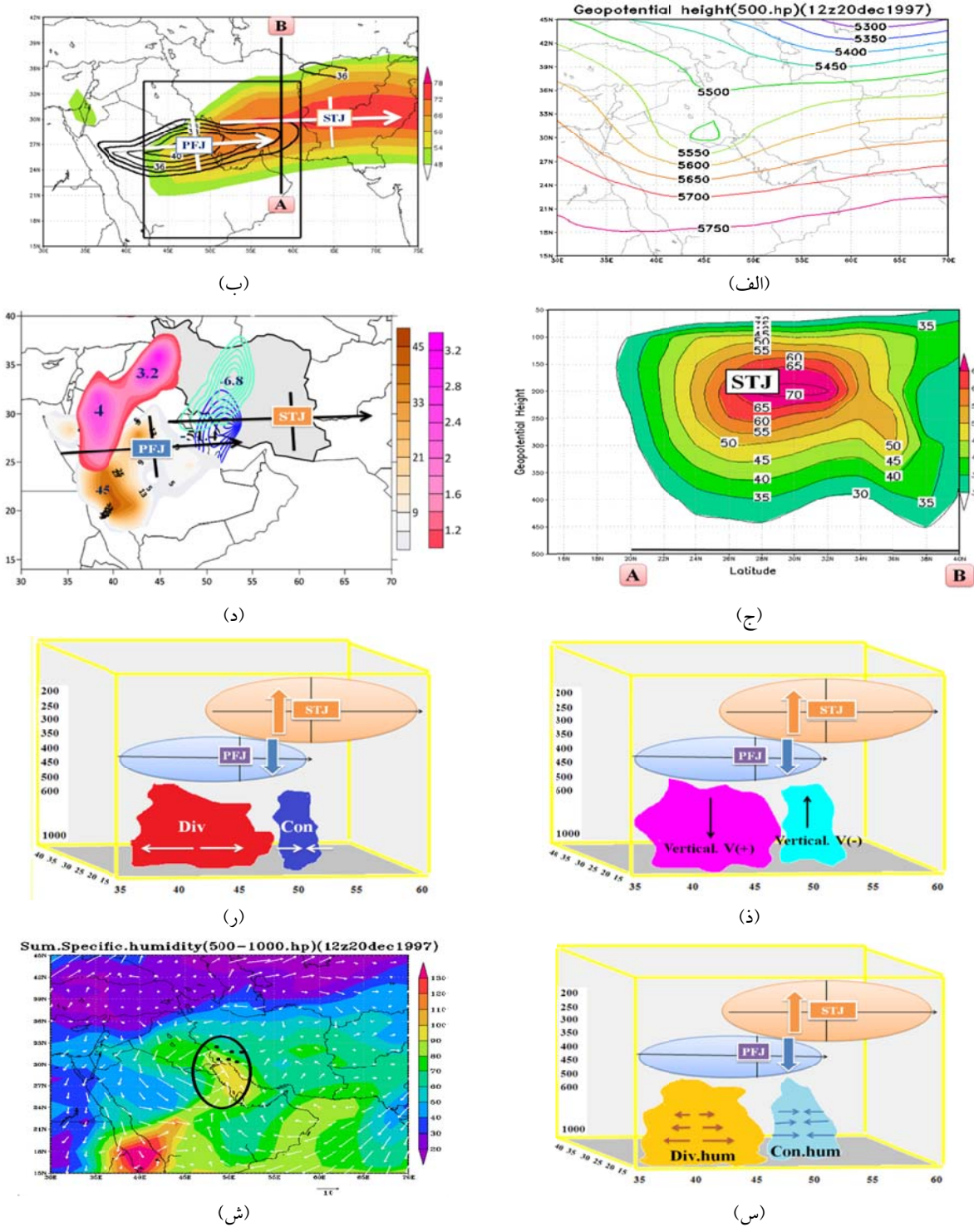
۳-۱. الگوی اول: انتباق گردش واچرخندی جت جنوب حاره بر گردش چرخندی جت جبهه قطبی (برهم کنش مستقیم)

این الگو، با فراوانی ۳۸ رخداد (۲۷ رخداد در پاییز و ۱۱ رخداد در بهار) اصلی‌ترین الگوی استقرار همزمان جت‌ها

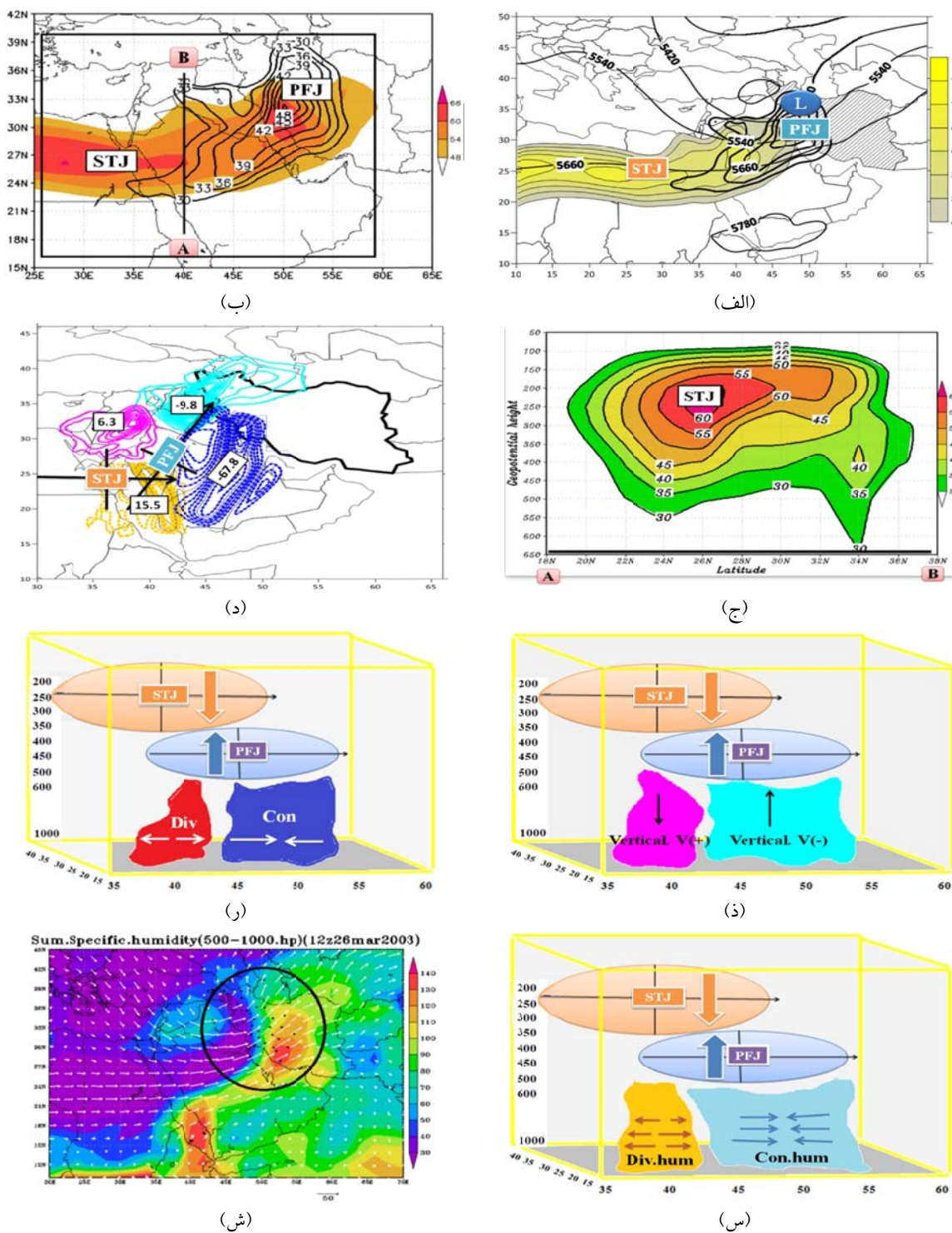
بهار و ۷ رخداد در پاییز) علاوه بر نوسان جنوب سوی جت جبهه قطبی، حداکثر نوسان شرق سوی هسته جت جنب حاره‌ای واقع در شمال آفریقا را در فصل بهار نشان می‌دهد. در روز نماینده این الگو (۲۶ مارس ۲۰۰۳)، حاکمیت پشته جنوب حاره در منطقه مدیترانه و هسته کمارتفاع ۵۴۲۰ متری بر روی عراق یک الگوی نصف‌النهاری در تراز ۵۰۰ هکتوپاسکال ایجاد کرده است (شکل ۵-الف). حرکت شرق سوی این پشته و ناوه (به میزان ۱۰ درجه طول شرقی)، علاوه بر حرکت شرق سوی هسته جت‌های جنوب حاره و جبهه قطبی، باعث انطباق این جت‌ها نیز شده است (شکل ۵-ب). اما گسترش قائم منطقه چرخندی جت جنوب حاره (۱۰۰-۵۵۰ هکتوپاسکال) (شکل ۵-ج) و قدرت بیشتر هسته آن (75 ms^{-1}) نسبت به جت جبهه قطبی (50 ms^{-1})، باعث انبساط منحنی‌های هم‌سرعت این جت (شکل ۵-ب)، کاهش ضخامت قائم و تضعیف مؤلفه‌های سرعت قائم نزولی، واگرایی جو و تضعیف واگرایی شار رطوبت در منطقه واچرخندی جت جبهه قطبی شده است. هچنین، تأثیر غیرمستقیم برهمنکش مذکور بر افزایش گرادیان منحنی‌های هم‌سرعت در منطقه خروجی جت جبهه قطبی، افزایش ضخامت قائم و افزایش مؤلفه‌های سرعت قائم صعودی، همگرایی افقی جو و تقویت همگرایی شار رطوبت را در بی داشته است (شکل‌های ۵-ذ-۵-ر و ۵-س) و (جدول ۵). در این الگو، فرارفت رطوبت از خلیج فارس و دریای سرخ و سلول بسیار قوی همگرایی شار رطوبت از غرب و جنوب‌غرب تا مرکز ایران در منطقه حاکمیت گردش قوی چرخندی جت جبهه قطبی باعث رخداد یکی از سنگین‌ترین و فraigیرترین بارش‌ها در اغلب ایستگاه‌های همدید این منطقه در ۲۶ مارس ۲۰۰۳ (پیشاپر، الیگودرز، ازنا، بافت، بروجن، دره شهر، درودزن، ایلام، کنگاور، کرمانشاه، خدابنده، خرم آباد، سردشت، شیراز، یاسوج و ...)، شده است (شکل ۵-ش).

افزایش تدریجی واگرایی پایینی جت جنب حاره (علیجانی، ۱۳۸۱) با ضخامت قائم ۱۰۰ تا ۴۵۰ هکتوپاسکال (شکل ۴-ج) بر گردش چرخندی جت جبهه قطبی، موجب انبساط منحنی‌های هم‌سرعت این جت در تراز ۳۰۰ هکتوپاسکال (شکل ۴-ب)، پایداری جو، محدودیت مکانی سرعت‌های قائم و همگرایی پایینی در منطقه خروجی جت جبهه قطبی (۵۰۰-۱۰۰۰ هکتوپاسکال) شده است. علاوه بر این، حرکت پس‌رونده هسته جت جبهه قطبی به سمت منطقه گردش واچرخندی آن، یک الگوی غیر متعارف است و تقویت مؤلفه‌های سرعت قائم نزولی و واگرایی پایینی این جت را در بی داشته است (شکل ۴-د). مقایسه مقادیر گسترش و محدودیت این مؤلفه‌ها (جدول ۴) نشان می‌دهد که گسترش مکانی واگرایی شار رطوبت در منطقه واچرخندی جت جبهه قطبی در نتیجه افزایش مؤلفه‌های سرعت قائم نزولی و واگرایی جو و محدودیت مکانی همگرایی شار رطوبت در منطقه چرخندی این جت در نتیجه محدودیت مکانی مؤلفه‌های سرعت قائم صعودی و همگرایی (۵۰۰ تا ۱۰۰۰ هکتوپاسکال) رخ داده است (شکل‌های ۴-د، ۴-ذ، ۴-ر، ۴-س و جدول ۴). به طوری که فرارفت درون‌سوی رطوبت از مدیترانه، دریای سرخ و خلیج فارس نیز حاکمیت یک منطقه همگرایی ضعیف را نشان می‌دهد. بنابراین تأثیر این الگوی برهمنکش در تضعیف فعالیت چرخندی جت جبهه قطبی منجر به محدودیت مجموع رطوبت‌ویژه و آب قابل‌بارش (تراز ۱۰۰۰-۵۰۰ هکتوپاسکال) در جنوب‌غرب ایران و رخداد بارش در ایستگاه‌های محدودی (آبادان، اهواز، آمیدیه، بندرماهشهر، بستان) شده است (شکل ۴-ش).

۲-۳. الگوی دوم: انطباق گردش چرخندی جت جنب حاره بر گردش واچرخندی جت جبهه قطبی (برهمنکش غیرمستقیم)
این الگوی همزمانی، با فراوانی ۲۵ رخداد در



شکل ۴. مؤلفه‌های جو در الگوی برهم کنش مستقیم جت‌ها: (الف) ارتفاع زئوپتانسیل (۵۰۰ هکتوپاسکال)، (ب) موقعیت استقرار جت‌های جنوب حاره (۲۰۰ هکتوپاسکال) و جبهه قطبی (۳۰۰ هکتوپاسکال)، کادر سیاه رنگ: منطقه تأثیر برهم کنش، (ج-A-B) مقطع قائم جت جنوب حاره (۵۸ درجه شرقی)، (د) منطقه بنفش: سرعت قائم نزولی، منحنی‌های سبز: سرعت قائم صعودی، منحنی‌های آبی: همگرایی شار رطوبت و منطقه قهوه‌ای: واگرایی شار رطوبت (hp)، (ه) طرح‌های شماتیک سرعت‌های قائم صعودی و نزولی، (ر) همگرایی جو، و (س) همگرایی و واگرایی شار رطوبت (hp)، (ش) مجموع رطوبت ویژه (۵۰۰-۱۰۰۰ هکتوپاسکال)، نقاط مشکی: ایستگاه‌های رخداد بارش سنگین.



شکل ۵. مؤلفه های جو در الگوی برهم کش غیر مستقیم جت ها: (الف) ارتفاع ژئوپتانسیل (۵۰۰ hPa) و (ب) هسته کم فشار سطح زمین، (ب) موقعیت استقرار جت های جنوب حاره (۲۰۰ هکتوپاسکال) و جبهه قطبی (۳۰۰ هکتوپاسکال)، کادر سیاه رنگ: منطقه تأثیر برهم کش جت ها، (ج) مقطع قائم جت جنوب حاره درجه شرقی؛ (د) منحنی های بنفس: سرعت قائم صعودی، منحنی های سیز: سرعت قائم صعودی، منحنی های آبی: همگرایی شار رطوبت و منحنی های نارنجی: واگرایی شار رطوبت (۱۰۰۰-۵۰۰ hPa)، (ز) طرح های شماتیک سرعت های قائم صعودی و نزولی، (ر) همگرایی و واگرایی جو، و (س) همگرایی و واگرایی شار رطوبت (۱۰۰۰-۵۰۰ hPa)، (ش) مجموع رطوبت ویژه (۱۰۰۰-۵۰۰ هکتوپاسکال)، نقاط مشکی: ایستگاه های رخداد بارش سنگین.

جدول ۴. مختصات جغرافیایی و میانگین هسته مرکزی مؤلفه‌های جو در مناطق گردش و اچرخندی (A) و چرخندی (C) جت جبهه قطبی (12z20dec1997).

(500-1000.hp)A		(500-1000.hp)C		واحد	مؤلفه
میانگین	مختصات جغرافیایی	میانگین	مختصات جغرافیایی		
۴	25-40°N, 36-46°E	-۶.۸	23-32°N, 45-55°E	Ps ⁻¹	سرعت قائم
۳.۵	22-32°N, 36-48°E	-۷.۹	24-31°N, 49-53°E	s ⁻¹	واگرایی افقی
۴۵	15-27°N, 35-45°E	-۵۱.۴	24-33°N, 50-53°E	1e ⁵	شار رطوبت

جدول ۵. میانگین هسته مرکزی و مختصات جغرافیایی مؤلفه‌های جو در مناطق گردش و اچرخندی (A) و چرخندی (C) جت جبهه قطبی (12z26mar2003).

(500-1000.hp)A		(500-1000.hp)C		واحد	مؤلفه
میانگین	مختصات جغرافیایی	میانگین	مختصات جغرافیایی		
۶.۳	30-37°N, 33-40°E	-۹.۸	30-44°N, 39-52°E	Ps ⁻¹	سرعت قائم جو
۳.۱	22-26°N, 37-44°E	-۴.۶	14-36°N, 42-58°E	s ⁻¹	واگرایی افقی
۱۵.۰	15-25°N, 35-44°E	-۶۷.۸	17-34°N, 44-53°E	1e ⁵	شار رطوبت

مجاورت گردش‌های متضاد این جت‌ها نیز شده است (شکل ۶-ب). برهم کنش متقابل حاصل از مجاورت هسته منحنی وار چرخندی جت جبهه قطبی با هسته منحنی وار و اچرخندی جت جنوب حاره در ترازهای ۳۰۰ تا ۴۵۰ هکتوپاسکال، ضمن تشدید گرادیان منحنی‌های هم‌سرعت جت جبهه قطبی، باعث افزایش چرخندگی‌های برشی (افزایش سرعت در جهت عمود بر مسیر باد) و انحنای (انحنای خطوط فشار و مسیر حرکت باد) و افزایش فرارفت چرخندگی مطلق در محل ناوه تراز ۵۰۰ هکتوپاسکال شده است (شکل ۶-ج). همچنین انتلاق مؤلفه‌های باد نازمینگرد و فرارفت چرخندگی مطلق در تراز ۵۰۰ هکتوپاسکال، تقویت همگرایی و تمرکز صعود جو در ترازهای ۵۰۰ تا ۱۰۰۰ هکتوپاسکال و کاهش جرم هوا در سطح زمین را در پی داشته است (شکل‌های ۶-ج و ۶-د). علاوه بر این، مجاورت فرارفت سرد (۲۵-۳۵ درجه سانتیگراد) (شکل ۶-ر)، همگرایی و سرعت‌های

۳-۳. الگوی سوم: مجاورت گردش و اچرخندی جت جنوب حاره و گردش چرخندی جت جبهه قطبی (برهم کنش متقابل)

برهم کنش متقابل حاصل از مجاورت گردش‌های متضاد جت‌ها در این الگوی همزمانی، با فراوانی ۳۱ رخداد (۱۷ رخداد در پاییز و ۱۴ رخداد در بهار) به صورت منطقه تمرکز جبهه‌زایی و رخداد بارش سنگین ظاهر شده است. در روز نماینده این الگو (۱۳ دسامبر ۲۰۱۳)، انتقال جنوب سوی ناوه تراز ۵۰۰ هکتوپاسکال و حرکت شمال سوی پشتۀ جنوب حاره باعث استقرار هسته کمارتفاع ۵۳۲۰ متری شمال شرق مدیترانه در میان دو پشتۀ واقع در ایران و مدیترانه شده است. نوسان شدید الگوی ارتفاع این روز، علاوه بر مجاورت مراکز پیچانه‌های بسیار قوی (۳۲۰۰-۱۲۰۰ ژئوپتانسیل دکامتری (شکل ۶-الف)؛ با انتقال جنوب سوی هسته جت جبهه قطبی (۴۵ ms⁻¹) و نوسان شمال سوی هسته جت جنوب حاره (۸۰ ms⁻¹) منجر به

الگو (۲۳ نوامبر ۱۹۹۴)، مجازت گردش چرخندی جت جنب حاره و واچرخندی جت جبهه قطبی را نشان می‌دهد. با توجه به اینکه در مقادیر هیچ یک از مؤلفه‌های جو و مخصوصاً میانگین فشار تراز دریا نسبت به روز قبل از این الگو تغییری مشاهده نشده است (شکل ۷-الف)، می‌توان گفت در این الگو، برهمنشی در میان جت‌های قطبی و حاره‌ای صورت نگرفته است. بنابراین بارش‌های سنگین این الگو، تحت تأثیر ناوه تراز ۵۰۰ هکتوپاسکال (شکل ۷-ب) و گردش چرخندی جت جنب حاره‌ای واقع در غرب و جنوب‌غرب ایران بوده است (شکل ۷-الف). به طوری که حاکمیت گردش چرخندی این جت منجر به فرارفت رطوبت از مدیرانه، دریای سرخ و خلیج فارس شده است و حداکثر فرارفت رطوبت از دریای سرخ نیز به علت استقرار ناوه تراز ۵۰۰ هکتوپاسکال و کم‌فشار حاکم بر دریای سرخ، منجر به رخداد بارش سنگین در ایستگاه‌های آبلی، بروجن، دهلران، اسلام‌آباد غرب، اینده، کنگاور، کرمانشاه، خرم‌آباد، کوهرنگ، مریوان، قزوین، ایلام و دزفول شده است (شکل ۷-ج).

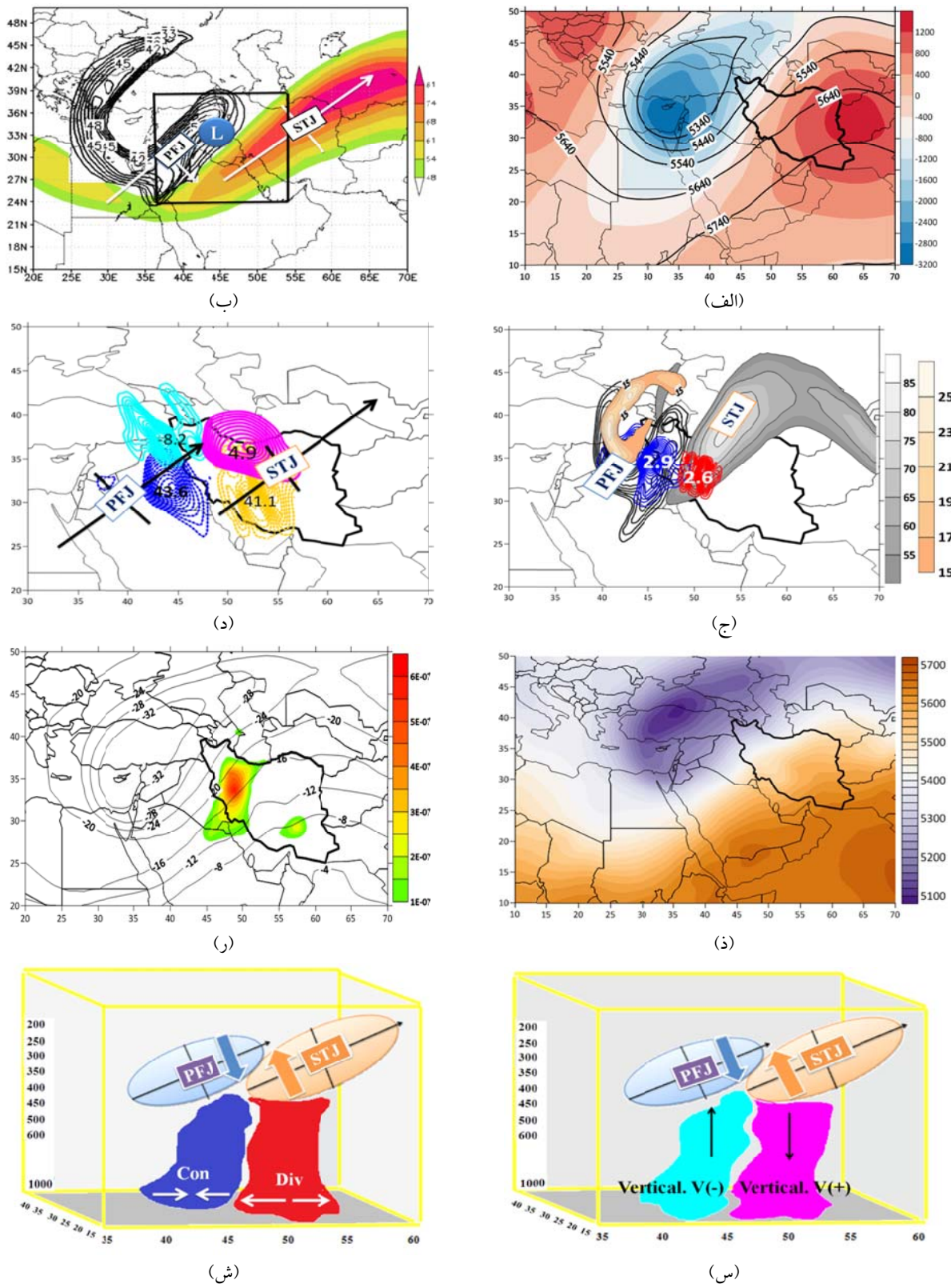
قائم صعودی در محل گردش چرخندی جت جبهه قطبی و ضخامت زیاد جو (۵۷۰۰ متر) و فرارفت گرم بادهای جنوب غربی- شمال شرقی (۲۵-تا ۱۵-درجه) (شکل ۶-ر)، سرعت‌های قائم نزولی، واگرایی شار رطوبت در منطقه گردش واچرخندی جت جنب حاره، علاوه بر تشدید شرایط کثرفشار جو، باعث تمرکز جبهه‌زایی در ترازهای ۵۰۰ تا ۱۰۰۰ هکتوپاسکال نیز شده است (شکل‌های ۶-د، ۶-ذ، ۶-ر، ۶-س، ۶-ش، ۶-ص و جدول ۶). در این الگو فرارفت رطوبت از دریای سرخ و مدیرانه موجب تمرکز حداکثر مجموع رطوبت‌ویژه در غرب و جنوب‌غرب ایران (شکل ۶-ض) و رخداد بارش سنگین در منطقه حداکثر جبهه‌زایی (الیگودرز، همدان، هرسین، لرستان، کنگاور، دزفول، کوهرنگ، ملایر، شوشتر، تویسرکان و ...) شده است.

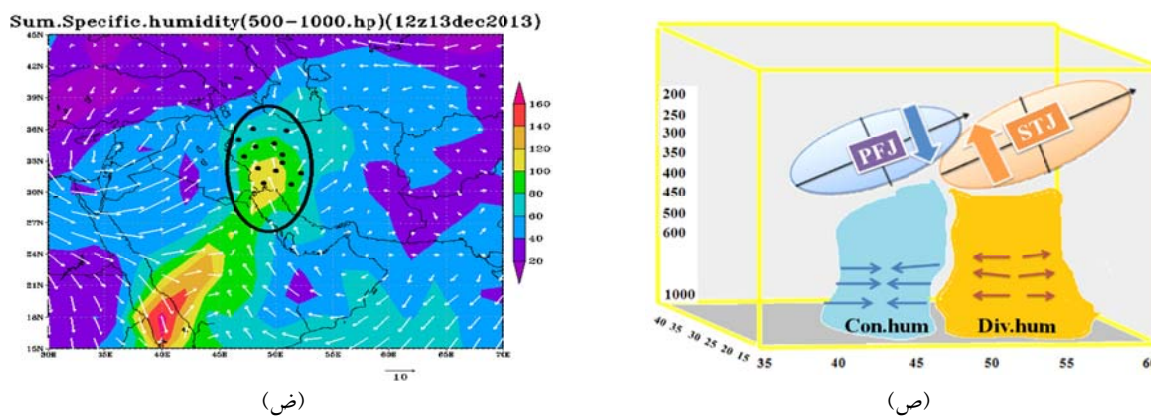
۴-۳. الگوی چهارم: مجاورت گردش واچرخندی جت جبهه قطبی و گردش چرخندی جت جنب حاره (عدم رخداد برهمنش)

نتایج حاصل از بررسی مؤلفه‌های جو در روز نماینده این

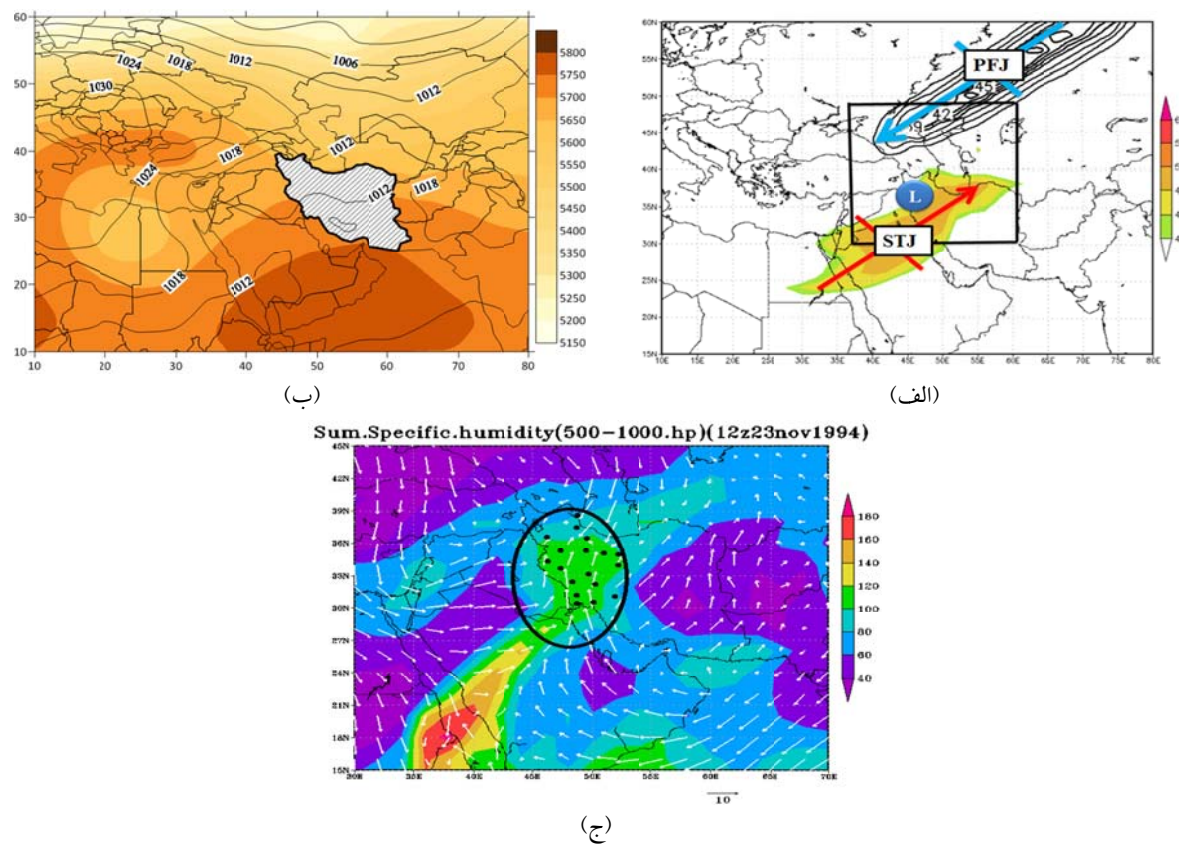
جدول ۶. مختصات جغرافیایی و میانگین هسته مرکزی مؤلفه‌های جو در مناطق گردش‌های واچرخندی جت جنب حاره (A) و چرخندی جت جبهه قطبی (C). (12z13dec2013)

(500-1000.hp)C		(500-1000.hp)A		واحد	مؤلفه
میانگین	مختصات جغرافیایی	میانگین	مختصات جغرافیایی		
-۸۰.۲	35-44°N, 41-48°E	۴.۹	35-42°N, 48-56°E	Ps^{-1}	سرعت قائم جو
۲.۹	29-38°N, 40-48°E	۲.۶	30-35°N, 49-53°E	s^{-1}	واگرایی افقی
-۴۳.۶	27-37°N, 43-50°E	۴۱.۱	26-38°N, 50-57°E	$1e^5$	شار رطوبت





شکل ۶. مؤلفه‌های جو در الگوی برهمنکش متقابل جت‌ها: (الف) ارتفاع ژئوپتانسیل (hp ۵۰۰) و مرکز پیچانه مثبت و منفی، (ب) موقعیت استقرار جت‌های جنوب حاره (۲۰۰ هکتوپاسکال) و جبهه قطبی (۳۰۰ هکتوپاسکال)، کادر سیاه رنگ: منطقه مجاورت جت‌ها، L: هسته کم فشار سطح زمین، ج: منحنی‌های آبی: میانگین همگرایی جو، منحنی‌های قرم: میانگین واگرایی جو (۵۰۰-۱۰۰۰ hp)، منطقه قوهای رنگ: فرارفت چرخندگی مطلق (۵۰۰ hp); د: منحنی‌های سبز: سرعت قائم صعودی، منحنی‌های بنفش: سرعت قائم نزولی (۱۰۰۰-۵۰۰ hp)، منحنی‌های آبی: همگرایی شار رطوبت و منحنی‌های تارنجی: واگرایی شار رطوبت (۱۰۰۰-۵۰۰ hp)، ذ: مرکز ضخامت مثبت و منفی، ر: منحنی‌های همدما (500hp) و جبهه‌زایی (1000-500 hp)، س: طرح‌های شماتیک سرعت‌های قائم صعودی و نزولی، ش: همگرایی جو، و ص: همگرایی و واگرایی شار رطوبت (1000-500 hp)، ض: مجموع رطوبت ویژه (۱۰۰۰-۵۰۰ هکتوپاسکال) و نقاط مشکی: استگاه‌های رخداد بارش سنگین.



شکل ۷. مؤلفه‌های جو در الگوی چهارم همزمانی جت‌ها: (الف) موقعیت استقرار جت‌های جنوب حاره (۲۰۰ هکتوپاسکال) و جبهه قطبی (۳۰۰ هکتوپاسکال)، کادر سیاه رنگ: منطقه مجاورت جت‌ها، L: هسته کم فشار سطح زمین، ب) منحنی‌های سیاه: میانگین فشار تراز دریا و منطقه رنگ: ارتفاع تراز ۵۰۰ هکتوپاسکال، (ج) مجموع رطوبت ویژه (500-1000.hPa)، نقاط مشکی: استگاه‌های رخداد بارش سنگین.

(الگوی چهارم) بر رخداد بارش سنگین تأثیری نداشته است. با توجه به نتایج حاصل از پژوهش‌هایی که در زمینه برهم کنش جت‌ها در این الگوی همزمانی انجام گرفته است، تشید مولفه‌های باد آزمینگرد و میدان واگرایی افقی در ترازهای بالاتر از ۵۰۰ هکتوپاسکال، فرارفت تاوایی نسبی مثبت، چینش قائم باد، سرعت قائم بالاسو و تشکیل کم‌فشار سطحی در منطقه مجاورت واگرایی‌های مناطق ورودی و خروجی این جت‌ها نشانه‌های رخداد برهم کنش جت‌ها در این الگو هستند (ماتوکس و بلک، ۱۹۸۶؛ پریزراکوس، ۲۰۰۶)؛ درحالی که عدم تغییر این مولفه‌ها در ترازهای مختلف و مخصوصاً میانگین فشار تراز دریا نسبت به روز قبل از رخداد بارش، عدم برهم کنش میان جت‌ها در این الگو را تأیید می‌کند. بنابراین بارش‌های سنگین ثبت شده در این الگو فقط به علت حاکمیت گردش چرخندی جت جنوب حاره و استقرار نیمه چپ خروجی این جت (واگرایی بالایی) در منطقه رخ داده است.

به طور کلی یافته‌های پژوهش حاضر نشان می‌دهد که علاوه بر تأثیر سامانه‌های سودانی و فرارفت رطوبت از دریای سرخ (محمدی و همکاران، ۱۳۹۱؛ لشکری و همکاران، ۱۳۹۲)، خلیج فارس، مدیترانه و دریای سیاه؛ الگوهای مختلف برهم کنش جت‌های جنوب حاره و جبهه قطبی با تغییر مولفه‌های واگرایی و سرعت قائم جو (ناکامورا، ۱۹۹۲؛ زیو و پالدور، ۱۹۹۸ و کلوتر و دیویس، ۱۹۸۰) تأثیر ثانویه‌ای بر شار رطوبت و رخداد بارش سنگین داشته‌اند. به گونه‌ای که تأثیر برهم کنش‌های مستقیم جت‌ها در الگوی اول باعث تضعیف فرارفت رطوبت و رخداد بارش در ایستگاه‌های مرکز و محدودی در جنوب‌غرب ایران شده است. اما تأثیر برهم کنش غیرمستقیم جت‌ها در الگوی دوم، با تشید فرارفت رطوبت از خلیج فارس و دریای سرخ، رخداد بارش‌های سنگین و گسترده‌ای در غرب، جنوب‌غرب و حتی مرکز ایران را در پی داشته است. علاوه بر این، برهم کنش متقابل این جت‌ها در الگوی سوم با حداقل

۴. بحث و نتیجه‌گیری

نتایج حاصل از محاسبه ضریب تغییرات جت‌های جنوب حاره و جبهه قطبی، رخداد حداکثر نوسان آنها در محدوده ۳۶ تا ۵۶ درجه طول شرقی و ۲۷ تا ۴۰ درجه عرض شمالی را نشان می‌دهد. همچنین نتایج حاصل از بررسی الگوهای همزمانی استقرار این جت‌ها در محدوده مذکور، نشان‌دهنده رخداد برهم کنش جت‌ها در سه الگوی مختلف است. به گونه‌ای که هسته قویتر جت جنوب حاره، به صورت تضعیف مستقیم (الگوی اول) و تقویت غیرمستقیم (الگوی دوم) گردش چرخندی جت جبهه قطبی، ضمن تغییر مولفه‌های همگرایی و واگرایی افقی جو، بر تغییر سرعت‌های قائم جو و شار رطوبت در مناطق چرخندی و واچرخندی جت جبهه قطبی مؤثر بوده است. نتایج حاصل از بررسی الگوی اول برهم کنش (اصلی‌ترین الگوی استقرار همزمان جت‌ها در منطقه)، نشان می‌دهد که این انطباق حتی در زمان حداکثر نوسان جنوب سوی جت جبهه قطبی در پاییز، باعث پس‌روی و تضعیف منطقه گردش چرخندی جت جبهه قطبی و تمرکز و محدودیت بارش سنگین شده است. در الگوی دوم برهم کنش، حداکثر نوسان شرق سوی جت جنوب حاره در محدوده ۳۰ تا ۴۵ درجه طول شرقی، ضمن تضعیف گردش واچرخندی جت جبهه قطبی، به طور غیرمستقیم باعث تقویت گردش چرخندی و همگرایی شار رطوبت و رخداد یکی از سنگین‌ترین و فرآگیرترین بارش‌های سنگین در اکثر ایستگاه‌های همدید واقع در نیمه غربی ایران شده است. درحالی که در الگوی سوم، تأثیر الگوی نصف النهاری شدید ارتفاع تراز ۵۰۰ هکتوپاسکال باعث تشید فعالیت‌های متضاد چرخندی و واچرخندی جت‌های واقع در مجاور یکدیگر و رخداد برهم کنش متقابل آنها شده است. این الگو، ضمن تشید شرایط کژفشار و جبهه‌زایی در ترازهای ۵۰۰ تا ۱۰۰۰ هکتوپاسکال، منجر به تمرکز رخداد بارش سنگین در منطقه حداکثر جبهه‌زایی نیز شده است. اما مجاورت گردش‌های واچرخندی جت جبهه قطبی و چرخندی جت جنوب حاره

- پژوهش‌های جغرافیای طبیعی، ۳، ۳۴۷-۳۶۵.
حلیبان، ا. و حسینعلی پور جزی، ف.، ۱۳۹۳، تحلیل فراوانی رودبادهای مرتبط با بارش‌های حدی و فراغیر در کرانه‌های غربی خزر، *تحقیقات جغرافیایی*، ۱۱۲، ۲۰۵-۲۲۰.
- حیب پور، ک. و صفری، ر.، ۱۳۸۸، راهنمای جامع کاربرد SPSS در تحقیقات پیمایشی، انتشارات متغیرکاران، ۳۱۶.
- خسروی، م. و غیور، ح.، ۱۳۸۰، تأثیر پدیده انسو بر نابهنجاری‌های بارش تابستانی و پاییزی منطقه جنوب شرق ایران، *تحقیقات جغرافیایی*، ۶۲، ۱۴۱-۱۷۶.
- ذکی زاده، م. ب.، سلیقه، م.، ناصرزاده، م. ح. و اکبری، م.، ۱۳۹۷، تحلیل آماری و همدیدی مؤثرترین الگوی رودباد ایجاد کننده بارش‌های سنگین ایران، *مخاطرات محیط طبیعی*، ۱۵، ۳۱-۴۸.
- سعید آبادی، ر.، آب خرابات، ش. و نجفی، م. س.، ۱۳۹۴، موقعیت رودباد جبهه قطبی در ارتباط با بارش‌های سنگین و شار رطوبت ترازهای پایین غرب ایران، *محیط‌شناسی*، ۴، ۷۹۸-۷۸۳.
- صلاحی، ب. و عالی‌جهان، م.، ۱۳۹۲، تحلیل همدید مخاطره اقیمی شهرستان یاسوج، *جغرافیا و مخاطرات محیطی*، ۵، ۷۳-۸۹.
- عساکری، ح.، قائمی، ه. و بیرونوند، آ.، ۱۳۹۴، روند تغییرات فصلی رودباد جنب حاره در محدوده اقیمی ایران طی دهه‌های اخیر، پژوهش‌های جغرافیای طبیعی، ۱، ۵۷-۷۲.
- علیجانی، ب. و کاویانی، م. ر.، ۱۳۸۴، مبانی آب و هوا شناسی، انتشارات سمت، تهران.
- عسگری، ا.، رحیم زاده، ف.، محمدیان، ن. و فتاحی، ا.، ۱۳۸۶، تحلیل روند نمایه‌های بارش‌های حدی در ایران، *تحقیقات منابع آب ایران*، ۳، ۴۲-۵۵.
- علیجانی، ب.، اقلیم‌شناسی همدید، انتشارات سمت، تهران.

فرارفت رطوبت از دریای سرخ و تمرکز رطوبت در جنوب‌غرب ایران، باعث رخداد بارش‌های سنگین و متمنکری در غرب و جنوب‌غرب ایران شده است. براین اساس می‌توان گفت که علاوه بر تأثیر سامانه‌های بارش‌زا در منطقه که شرط اولیه در رخداد بارش هستند، هر یک از سه الگوی مختلف برهمنش جت‌ها نیز با تغییر بودجه گرما و رطوبت در ترازهای مختلف جو، بر تمرکز و یا گستردگی میزان شار رطوبت و رخداد بارش‌های متمنکر و یا گستردگی تأثیر گذار بوده‌اند که این یافته مطابق با نتایج مطالعات ریتر (۱۹۶۳)، هنالوس و مارتین (۲۰۱۶)، بجرکنس و هولمبو (۱۹۹۴) و نیوتون و ترویسان (۱۹۸۴) است. در حالی که در الگوی چهارم همزمانی، به علت عدم رخداد برهمنش میان جت‌ها، مؤلفه‌های جو و همچنین مجموع رطوبت‌ویژه تغییری در بی نداشته است که این یافته مطابق با نتیجه مطالعه مبارک حسن و همکاران (۱۳۹۱) در زمینه عدم تأثیر برهمنش جت‌های جنوبی و جبهه قطبی بر سیکلونزایی و بارش سنگین در ایران است.

مراجع

- آروین، ع. و محمدی نژاد، ج.، ۱۳۹۴، *اقلیم‌شناسی سیالاب ناشی از بارش سنگین* ۴ فوریه ۲۰۰۶ استان لرستان، *مخاطرات محیط طبیعی*، ۵، ۷۵-۹۰.
- احمدی، م.، و جعفری همبری، ف.، ۱۳۹۴، تحلیل همدید بارش سنگین ۱۲ آوریل ۲۰۱۵ شهرستان قزوین، *فصلنامه علمی- پژوهشی و بین المللی انجمن جغرافیای ایران*، ۴۴، ۲۲۱-۲۳۷.
- براتی، غ.، مرادی، م. و سلیمی، ر.، ۱۳۹۴، واکاوی همدید بارش‌های سنگین بهاره استان زنجان، *مخاطرات محیطی*، ۶، ۷۷-۸۸.
- بوشهر، ک.، ۱۳۸۵، آب و هوای کره زمین (جلداول)، *ترجمه هوشنگ قائمی، انتشارات سمت*.
- برزو، ف. و عزیزی، ق.، ۱۳۹۴، پیشنهاد معیاری ساده برای برآورد بارش سنگین در مناطق مختلف ایران،

- بارش‌های سنگین ایران، جغرافیا و توسعه، ۱۹، ۴۷-۷۰.
- متولی میدانشاه، ف.، م.، کاویانی. و م.، میرکنی، ۱۳۹۶، آشکارسازی بارش سنگین به کمک نقشه‌های همدید و وضع هوای پنجمین کنفرانس جامع مدیریت و مهندسی سیلاب.
- مبارک حسن.، ا. مشکوتابی، ا. ح.، آزادی، م. و فراهانی، م.، ۱۳۹۱، نقش رودباد در چرخند زایی مدیترانه، پژوهش‌های اقلیم‌شناسی، ۱۱، ۵۲-۴۲.
- محمدی، ح.، فتاحی، ا.، شمسی پور، ع. ا. و اکبری، م.، ۱۳۹۱، تحلیل دینامیکی سامانه‌های سودانی و رخداد بارش‌های سنگین در جنوب غرب ایران، تحقیقات کاربردی علوم جغرافیایی، ۲۴، ۷-۲۴.
- نوری، ح.، و ایلدرومی، ع.، ۱۳۹۱، تحلیل همدید و دینامیک رودادهای بارشی سنگین سواحل جنوبی خوزد در مقایسه با ایران، نشریه علمی پژوهشی جغرافیا و برنامه‌ریزی، ۴۱، ۱۹۷-۲۳۶.
- Archer, C. L. and Caldeira, K., 2008, Historical trends in the jet Streams, *Geophys. Res. Lett.* 35, L08803.
- Bjerknes , J., Holmboe, J., 1944, on the theory of cyclones. *Journal of meteorology*. 1, 1-22
- Defant, F., 1959, On the hydrodynamic instability caused by an approach of subtropical and polar front jet stream in northern latitudes before the onset of strong cyclogenesis. In: Rossby Memorial Volume: The atmosphere and sea in motion. B. Bolin (Ed.), Rockefeller Inst, New York, 305-325.
- Fu Q, Johanson C. M, Wallace J. M. and Reichler T., 2006, Enhanced mid-latitude tropospheric warming in satellite measurements. *Science* 312: 1179, doi: 10.1126/science.1125566.
- Hudson, R. D; 2012, Measurements of the movement of the jet streams at mid-latitudes, in the Northern and Southern Hemispheres, 1979 to 2010, 2012, *Atmospheric Chemistry and Physics*, 7797-7808.
- Handlos, Z. J. and Martin, J. E., 2016, Composite Analysis of Large-Scale Environments Conducive to Western Pacific Polar/Subtropical Jet Superposition, *journal of climatee*, University of Wisconsin–Madison, Madison, Wisconsin, 7145-7156.
- Kaplan, M. L., Hamilton, D. W. and Rozumalski, R. A., 1998, The numerical simulation of عليجانی، ب.، ۱۳۸۵، اقلیم شناسی سینوپتیک، چاپ دوم، تهران، انتشارات سمت.
- قویدل رحیمی، ی.، ۱۳۸۹، نگاشت و تفسیر سینوپتیک اقلیم با استفاده از نرم افزار grads، چاپ اول، تهران، انتشارات سها دانش.
- لشکری، ح.، قائمی، ه. و پرک، ف.، ۱۳۹۲، تحلیل رژیم بارندگی منطقه جنوب و جنوب غرب کشور، *فصلنامه سپهر*، ۸۵-۵۷.
- مصطفوی، غ.، مزیدی، ا. و شفیعی، ش.، ۱۳۹۶، تحلیل و بررسی موقعیت رودبادهای مرتبط با بارش فرین و شار رطوبت در مناطق غربی ایران، *مخاطرات محیط طبیعی*، ۱۱، ۴۷-۶۸.
- مفیدی، ع. و زرین، آ.، ۱۳۸۴، بررسی سینوپتیکی تاثیر سامانه‌های کم فشار سودانی در وقوع بارش‌های سیل زا در ایران، *فصلنامه تحقیقات جغرافیایی*، ۷۷، ۱۱۳-۱۳۶.
- محمدی، ب. و مسعودیان، ا.، ۱۳۸۹، تحلیل همدید unbalanced jetlet and its role in the Palm Sunday 1994 tornado outbreak in Alabama and Georgia. *Mon Wea Rev*, 126, 2133-2165.
- Karein, A. D., 1979, The Forecasting of Cyclogenesis in the Mediterranean Region. Ph. D. Thesis, University of Edinburgh, Scotland. 159.
- Kloth, C. M. and Davies-Jones, R. P., 1980, The relationship of the 300-mb jet stream to tornado occurrence. NOAA Tech. Memo. ERL NSSL-88. 62.
- Lu, R. Y. and Oh, J., Kim, B., 2002, A teleconnection pattern in upper-level meridional wind over the northern Africa and Eurasian continent in summer, *tellus*, Vol.54A, 44-55.
- Liao, Z. and Zhang, Y., 2013, Concurrent variation between the East Asian subtropical jet and polar front jet during persistent snowstorm period in 2008 winter over southern China, *Journal of geophysical research: atmospheres*, vol. 118, 6360-6373.
- Maddox, R. A. and Doswell, C. A., 1982, An examination of jet stream configuration, 500 mb vorticity advection and low level thermal advection patterns during extended periods of intense convection. *Mon. Wea. Rev.*, 10, 184-197.
- Mattocks, C. and Bleck, R., 1986, Jet stream dynamic and geostrophic adjustment

- processes during the initial stage of Lee cyclogenesis, *Ame Met Soc.*, 114, 2033-2056.
- Nakamura, H., 1992, Horizontal Divergence Associated with Zonally Isolated Jet Stream. *Jou of Atm Sci.*, 50, 2310-2313.
- Prezzerakos, N. G., Flocas, H. A. and Brikas D., 2006, The role of the interaction between polar and subtropical jet in a case of depression rejuvenation over the Eastern Mediterranean, *Meteorology and Atmospheric Physics*: 139-151.
- Reiter, E. R., 1963, *Jet stream meteorology; (jet stream and climate)*, chicago press, 375-409.
- Strong, C. and Davisb, R. E., 2007, Winter jet stream trends over the Northern Hemisphere, 2007, *Q. J. R. Meteorol. Soc.* 133: 2109–2115.
- Thorncroft, C. D. and Flocas, H. A., 1997, A case study of Saharan cyclongenesis. *Mon We Rev.* 125. 1147-1165.
- Uccellini, L. W., 1986, The possible influence of upstream upper-level baroclinic processes on the development of the QE II storm. *Mon Wea Rev.* 114. 1019-1027.
- Uccellini L. W. and Kocin, P. J., 1987, The interaction of jet streak circulation during heavy snow events along the east coast of the United States. *Wea. Forecast.* 2. 289-308.
- Whitney L. F., 1977, Relationship of the subtropical jet stream to sever local storms. *Mon. Wea. Rev.* 105. 398-412.
- Winters, A. C. and Martin, J. E., 2014, The Role of a Polar/Subtropical Jet Superposition in the May 2010 Nashville Flood, 2014, *weather & forecasting*, 29: 954-974.
- Wei, M. Y., 1987, A new formulation of the exchange of mass and tra constituents between the stratosphere and troposphere. *J. Atmos. Sci.* 44: 3079–3086.
- Yin, J. H., 2005, A consistent poleward shift of the storm tracks in simulations of 21st century climate. *Geophys. Res. Lett.* 32: L18701, doi: 10.1029/2005GL023684.
- Ziv, B. and paldor, N., 1998, the divergence fields associated with time-dependent jet streams, *Journal of athemospheric sciences*, The Hebrew University of Jerusalem, volume 56: 1843-1857.

The role of interaction subtropical- polar jet stream on heavy rainfall in the spring and autumn of Iran

Jalilian, A.¹, Zolfaghari, H.^{2*} and Sahraei, J.³

1. Ph.D. Student, Department of Geography, Razi University, Kermanshah, Iran

2. Associate Professor, Department of Geography, Razi University, Kermanshah, Iran

3. Assistant Professor, Department of Atmospheric physics, Faculty of Science, Razi University, Kermanshah, Iran

(Received: 18 Sep 2018, Accepted: 1 Jan 2019)

Summary

The narrow bands of strong wind ($\geq 30 \text{ ms}^{-1}$) in the upper levels of the atmosphere called jet stream. The formation of these streams in the maximum gradient zone of the atmosphere (the location of the maximum temperature and energy transition) has caused the establishment and movement of their speed nuclei at the western extremities of the equatorial fringes and on the polar front in the extraterrestrial region and the formation of western margin and polar fronts. This winds blow from west to east, but they often shifts to the north and south of seasonal average position. In this case, jets may be deployed simultaneously in one region and occurrence the interaction between them may affect the heavy rainfall. Based on several definitions that have been presented with heavy rainfall according to different criteria and thresholds, Cumulative precipitation of more than 30 mm in 24 hours, causing severe financial losses to various urban and rural areas, is called heavy rainfall. In This article, shifting and intensity of subtropical - polar front jet stream in the mid-latitude region and that's effects on heavy precipitation in Iran has been studied.

In this study, the effects of interactions patterns subtropical-polar front jet stream on heavy spring and autumn rainfall in Iran (1988-2017) with Atmospheric circulation to environment Approach has been investigated. Therefore after determining the maximum coefficient of variation of this jet streams, in order to determine the effective circulation patterns in these synchronies, by applying factor analysis by PCA on the data of a height of 500 hp, four main components with The explanation of 82% of data diffraction was determined. Then, by using cluster analysis method, the days in each cluster and by intra-group correlation, the representative day of each cluster was determined. After drawing different patterns of simultaneous deployment in the Surfer software, four synchronous patterns were determined in the range of maximum coefficient of variation of jet stream (27-40°N, 36-56 ° E). Finally, the effects of each of these patterns on the occurrence of heavy rainfall were determined by obtaining divergence, vertical velocity, vorticity, relative humidity, specific humidity, temperature and mean sea pressure from the ECMWF center.

The results of the study show the effects of three interaction patterns on heavy rainfalls. The effects of direct and indirect jet streams interactions in the first and second patterns, with the change in the thickness of the polar fronts and the interaction of jets in the third model, has been affected on atmospheric conditions and occurrence of heavy rainfall. Despite the direct interactions of the first pattern of jet stream synchronization in the rainfall concentration, the indirect interactions effect of the second pattern on the cyclone circulation boost of the polar jet stream has led to the occurrence of extensive rainfall. Also, the mutual interactions of the jet stream in the third pattern, with the intensification of the frontogenesis process, have been effective in the occurrence of precipitation along these fronts, while the proximity of these opposite turns in the fourth jet streams concurrency pattern is not effective on rainfall, and the occurrence of heavy rainfall has been affected only from the cyclonic circulation of the subtropical jet stream.

Keywords: heavy rainfall, polar front jet stream, subtropical jet stream, interaction, spring and autumn, Iran.

*Corresponding author:

h.zolfaghari@razi.ac.ir